

УДК 621.396.4

Афанасьєва Л.О.;  
Лемеш С.Б.,  
ІТС НТУУ «КП»

## ГЕОМЕТРИЧНА ВІЗУАЛІЗАЦІЯ АТАК НА СИГНАЛИ У БЕЗДРОТОВИХ ТЕЛЕКОМУНІКАЦІЙНИХ СЕНСОРНИХ МЕРЕЖАХ

*Розглянуто варіанти геометричного представлення (візуалізації) атак на бездротові сенсорні мережі (БСМ), пов'язаних із змінною сили сигналу. Запропоновано математичну модель візуалізації полів електромагнітних сигналів сенсорів, які перебувають у прямому зв'язку. Представлено результат візуалізації фрагменту атакованої БСМ з приглушеними сигналами сенсорів.*

*Рассмотрены варианты геометрического представления (визуализации) атак на беспроводные сенсорные сети (БСС), связанных с изменением силы сигнала. Предложена математическая модель визуализации полей электромагнитных сигналов сенсоров, находящихся в прямой связи. Представлено результат визуализации фрагмента атакованной БСС с приглушенными сигналами сенсоров.*

*Considers several variants of geometric representation (visualization) attacks on wireless sensor networks (WSN) associated with variable signal strength. A mathematical model of the visualization of electromagnetic field sensor signals, which are in direct communication. Presents the results of imaging fragment of attacked WSN with muted signals of sensors.*

**Вступ.** Розвиток і використання технологій збирання і передавання інформації з використанням БСМ залежить від надійності роботи сенсорів і рівня захищеності інформації. Вказані показники суттєво понижують атаки на БСМ. Підвищенню стійкості БСМ до атак і зниженню ефективності самих атак суттєво сприяють ефективні методи їх ідентифікації, зокрема методом їх візуалізації (геометричним

представленням) вибір того чи іншого методу візуалізації атаки на БСМ залежить від виду самої атаки і особливостей її організації. До особливо небезпечних і таких які часто використовуються відносять атаки направлені на приглушення сигналу. Відомі методи візуалізації таких атак передбачають уявне збільшення віддалей між сусідніми сенсорами, і як результат викривлення покриття мережі. При цьому є можливість відслідковувати великі зони пошкоджень поверхневих БСМ на їхньому площинному представленні. Але для візуалізації атак на силу сигналу обмеженої кількості сенсорів, які працюють як у складі поверхневих, так і об'ємних БСМ необхідно створити математичну і геометричну (візуальну) моделі.

**Аналіз досліджень і публікацій.** Системи моделювання БСМ дозволяють розробляти апаратне і програмне забезпечення для функціонування мережі не використовуючи реальних пристроїв [1]. Особливе місце серед таких систем займає геометричне моделювання. Так у ряді випадків геометричне моделювання дозволяє не тільки відтворити форму і положення мережі, прогнозувати і відслідкувати зони враження БСМ атаками на сенсори і інформацію, але й візуалізувати інформацію, яку збирають і передають сенсори. Зокрема, відомий спосіб візуалізації стану докільця у центрі опрацювання за допомогою БСМ [2]. Для такого моделювання використовують методи обчислювальної геометрії. Особливо зручним і таким, що знайшов широке застосування для вирішення згаданих завдань являється метод триангуляції Делоне. Даний метод передбачає створення мережі по опорних точках, в нашому випадку місцях розміщення сенсорів, які об'єднанні у трикутники [3,4]. При цьому сусідні сенсори об'єднують у трикутники за умов, що всі кола описанні навколо вершин трикутників пусті, тобто всередині даних кіл немає вершин інших трикутників, сторони трикутників не перетинаються і

кожна вершина трикутника є одночасно вершиною хоча б двох трикутників. Використання методу триангуляції Делоне дозволяє одержати топологію БСМ і оптимізувати параметри її роботи, наприклад, розмістити сенсори таким чином, щоб кожна точка в мережі покривалася сигналами не менше трьох сенсорів [5].

**Постановка завдання.** Таким чином метою даної роботи є створення геометричної і математичної моделей атаки на силу сигналів окремих сенсорів, які мають різну ступінь зв'язків з сусідніми сенсорами.

Поставлене завдання вирішують шляхом аналізу фрагменту БСМ, особливістю будови якого є розміщення сенсорів у вершинах квадратів з стороною  $a$  (рис. 1).

Розглянемо в запропонованій моделі ситуацію, коли візуальне представлення мережі виконують, використовуючи метод триангуляції Делоне. При такому моделюванні в конфігураційному просторі двох вимірів сенсори геометрично представлені точками. Відстані між сенсорами є функціями сигналу. Якщо сигнал позначити через  $\Omega$ , то відстань визначиться, як  $l = l(\Omega)$ . Різний по інтенсивності сигнал буде відображатися різною довжиною в конфігураційному просторі. Відстань між двома сенсорами  $\Omega_1$  і  $\Omega_2$  визначається як  $l_{12} = l(\Omega_1, \Omega_2)$ . При такому представленні нас не цікавлять істинні відстані між сенсорами в реальному просторі, оскільки сигнал поширюється із швидкістю світла в даному середовищі.

Розглянемо мережу з однотипними за силою сигналу сенсорами  $\Omega$ . В цьому випадку конфігураційний простір буде представлено точками, які знаходяться у вершинах квадратів із стороною  $a = l_{12} = l(\Omega_1, \Omega_2)$ . На рис. 1 показано структуру побудови точок конфігураційного простору за методом Делоне.

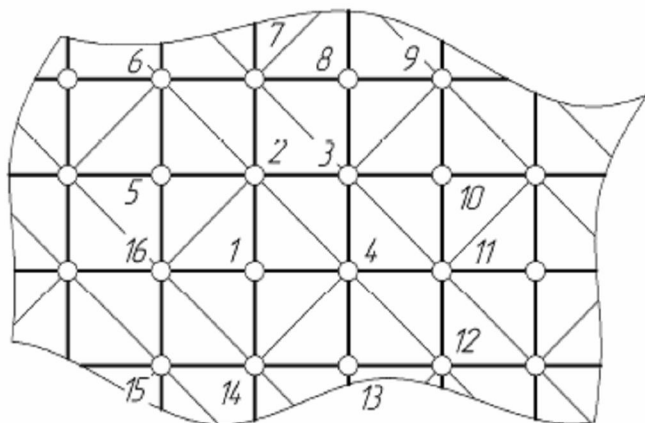


Рис. 1. Фрагмент геометричної моделі БСМ.

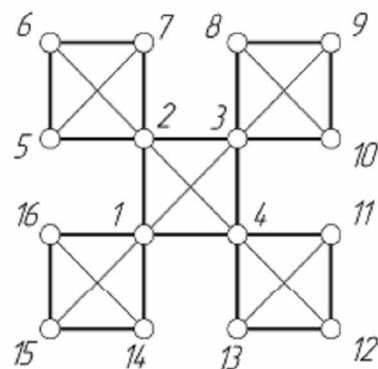


Рис. 2. Фрагмент БСМ для визначення атакованого сенсора.

Для математичного моделювання виберемо квадрат (1;2;3;4) і чотири дотичних у вершинах квадрати (2; 5; 6;7), (3;8;9;10), (4;11;12;13), (1; 14; 15; 16) (рис. 2). Ці чотири квадрати необхідні для однозначного визначення на який із чотирьох сенсорів квадрата здійснено атаку.

В конфігураційному просторі, що є площиною, кожна четвірка точок з фіксованими відстанями (сторони квадратів дорівнюють  $a$ , а діагоналі- $a\sqrt{2}$ ) буде визначати нульовий об'єм тетраедра  $V_{1,2,3,4} = 0$ , який визначається за формулою Ніколло Тарталлі (1) у вигляді визначника Келі-Менгера [9,10]

$$V_{1,2,3,4}^2 = \frac{(-1)^3}{2^3(3!)^2} \begin{vmatrix} 0 & 1 & 1 & 1 & 1 \\ -1 & 0 & l_{12}^2 & l_{13}^2 & l_{14}^2 \\ -1 & l_{12}^2 & 0 & l_{23}^2 & l_{24}^2 \\ -1 & l_{13}^2 & l_{23}^2 & 0 & l_{34}^2 \\ -1 & l_{14}^2 & l_{24}^2 & l_{34}^2 & 0 \end{vmatrix} = 0, \quad (1)$$

де  $l_{12} = l_{14} = l_{23} = l_{34} = a$ ,  $l_{13} = l_{24} = a\sqrt{2}$ .

При здійсненні атаки на якусь із точок - вершину чотирикутника (1;2;3;4), наприклад, точку 4, довжини  $l_{14}, l_{34}, l_{24}$  отримають видовження:  $l'_{34} = l_{34} + \Delta l$ ,  $l'_{24} = l_{24} + \Delta l$  (рис.3). Такі ж самі видовження отримають і відповідні відстані квадрата (4;11;12;13). Три інші квадрати (1;14;15;16), (2;5;6;7) і (3;8;9;10) ніяких видовжень не отримають.

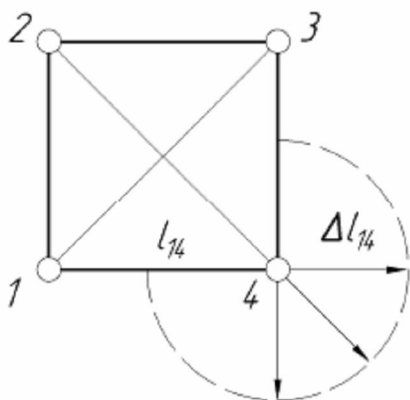


Рис. 3. Схема видовжень квадрата 1,2,3,4.

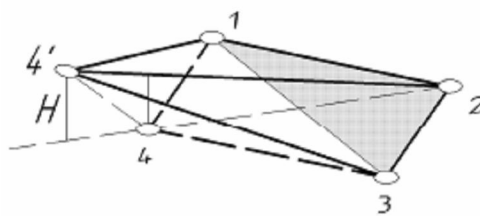


Рис. 4. Просторова геометрична модель видовженого квадрата 1,2,3,4.

Таким чином атака на сенсор приведе до змін лише у двох квадратах (1;2;3;4') і (4';11;12;13) із п'яти. Ці зміни дають змогу однозначно визначити на який із сенсорів здійснено атаку.

Розглянемо більш детально зміни, які відбудуться в квадратах (1;2;3;4) і (4';11;12;13) при атаці на сенсор, що представлений точкою 4 конфігураційного простору. Видовження трьох відстаней на одну і ту ж величину  $\Delta l$  приведе до того, що точка 4 стане вершиною двох тетраедрів (1;2;3;4') і (4';11;12;13) із відмінними від нуля об'ємами

$$V_{1234'}^2 = \frac{(-1)^3}{2^3(3!)^2} \begin{vmatrix} 0 & 1 & 1 & 1 & 1 \\ -1 & 0 & l_{12}^2 & l_{13}^2 & (l_{14}^2)' \\ -1 & l_{12}^2 & 0 & l_{23}^2 & (l_{24}^2)' \\ -1 & l_{13}^2 & l_{23}^2 & 0 & (l_{34}^2)' \\ -1 & (l_{14}^2)' & (l_{24}^2)' & (l_{34}^2)' & 0 \end{vmatrix} \neq 0, \quad (2)$$

тобто об'єми тетраєдрів  $(1;2;3;4)$  і  $(4';11;12;13)$  будуть функціями видовження  $\Delta l: V_{1,2,3,4'} = V_{4'11,12,13} = V(\Delta l)$ .

Внаслідок того, що об'єм тетраєдра

$$V(\Delta l) = \frac{1}{3} S_{1,2,3} H, \quad (3)$$

де  $H$  - висота тетраєдра,  $S_{1,2,3}$  площа основи тетраєдра, отримаємо

$$S_{1,2,3} = \frac{1}{2} a^2. \quad (4)$$

Тоді (3) набуває вигляду

$$V(\Delta l) = \frac{1}{6} a^2 H. \quad (5)$$

Звідси, отримуємо характеристику атаки на сенсор

$$H = \frac{6V(\Delta l)}{a^2} \quad (6)$$

**Висновки.** У результаті проведених досліджень атака на сенсор БСМ приводить: до локального викривлення конфігураційного простору - із двовимірного він стає тривимірним; два з трьох діагональних квадратів із плоских геометричних фігур перетворюються у тривимірні геометричні фігури - стають тетраєдрами із об'ємами:  $V_{1,2,3,4'} = V_{4'11,12,13} = V(\Delta l)$ .

Кількісна величина  $H = \frac{6V(\Delta I)}{a^2}$  є характеристикою атаки на сенсор.

Отримані параметри дають отримати якісну візуальну картину стану сенсора чи мережі в цілому.

*Використані джерела інформації:*

1. *Chris Karlof Secure routing in wireless sensor networks: attacks and countermeasures / Chris Karlof, David Wagner // AdHoc Networks Journal, University of California at Berkeley, Berkeley, CA 94720, USA - Volume 1, Issues 2- 3, September 2003. - Pages 293 - 315.*
2. *Ioannis Krontiris SCooperative Intrusion Detection in Wireless Sensor Networks / Ioannis Krontiris, Zinaida Benenson, Thanassis Giannetsos, Felix C. Freiling, Tassos Dimitriou // EWSN '09 Proceedings of the 6th European Conference on Wireless Sensor Networks, - Springer-Verlag Berlin, Heidelberg 2009. - Pages 263-278.*
3. *Кулаков Ю.И. Теория физических структур. (Математические начала физической герменевтики) / Ю.И. Кулаков. - М., 2004. - 847с.*
4. *Демчишин О.І. Визначення плоского кута за допомогою визначника Келі-Менгера / О.І. Демчишин // Матеріали XIV Наукової Конференції Тернопільського національного технічного університету імені Івана Пулюя «Природничі науки та інформаційні технології» - Тернопіль, 27-28 жовтня 2010 р - С. 48*
5. *Becher Tampering with motes: Real-world physical attacks on wireless sensor networks / A. Becher, Z. Benenson, M. Dornseif // volume 3934 of Lecture Notes in Computer Science, In J. A. Clark, R. F. Paige, F. Polack, and P. J. Brooke, editors, SPC, - 2006. - Pages 104-118.*